

## ВЛИЯНИЕ ХАРАКТЕРНОГО ЛИНЕЙНОГО РАЗМЕРА МИКРОСТРУКТУРЫ И ВРЕМЕНИ РЕЛАКСАЦИИ НА ПЕРЕХОДНЫЕ ПРОЦЕССЫ В ТОНКИХ СЛОЯХ

Н. Д. Вервейко, В. И. Просветов

*Воронежский государственный университет*

Поступила в редакцию 19.06.2013 г.

**Аннотация:** в работе рассмотрена математическая модель поведения сплошной среды с учетом микроструктуры и времени релаксации в переходном слое.

**Ключевые слова:** переходный слой, микроструктура, время релаксации.

**Abstract:** this paper considers mathematical model of continuum's behavior, including typical size of microstructure and relaxation time in transition layer.

**Keywords:** transition layer, microstructure, relaxation time.

### ВВЕДЕНИЕ

Изучение поведения материалов в переходных слоях, характеризующихся скачком физических величин и их производных, является достаточно трудной задачей как при аналитическом, так и при численном решении. Практические задачи, связанные с данными процессами, имеют широкое распространение в различных производственных процессах. В связи с этим необходимо совершенствовать методы анализа переходных процессов для существующих моделей сред, а также расширять представление о физической природе данных явлений путем введения дополнительных характеристик изучаемых объектов [1,2].

Описание реальных материалов всегда строится на определенных предположениях и допущениях об их физических свойствах. При этом большинство величин с большим порядком малости не учитываются в итоговых соотношениях в виду их незначительности. Однако не во всех задачах ими можно пренебречь. Переходные процессы в тонких слоях отличаются малой по сравнению с размерам всей задачи толщиной переходного слоя, большими градиентами скоростей, плотности и напряжений материала. Таким образом, характерный линейный размер  $h$  и характерное время релаксации  $\tau$  микроструктуры являются значимыми для подобных задач, и, следовательно, должны учитываться в итоговых соотношениях механики сплошных сред.

### ОСНОВНЫЕ СООТНОШЕНИЯ МСС ДЛЯ МАТЕРИАЛОВ С МИКРОСТРУКТУРОЙ

В качестве представительного объема микроструктуры выберем куб с гранью  $2h$  (Рис. 1). Используя разложение в ряд Тейлора, приведем основные силовые и кинематические характеристики для центра масс представительного объема [3]:

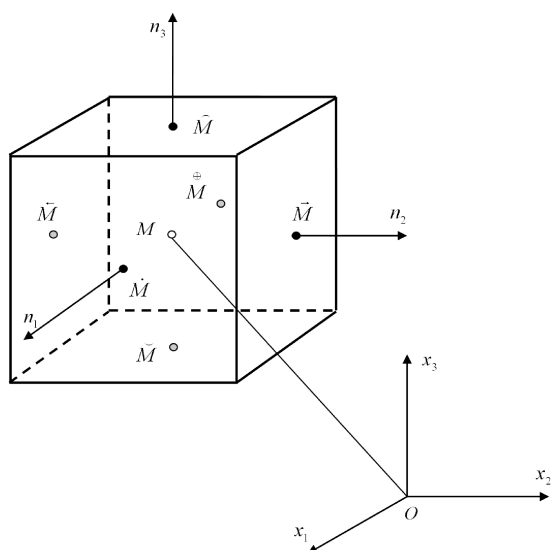


Рис. 1. Характерный представительный объем

— объемная деформация:

$$\bar{e}|_M \approx e|_M + \frac{1}{6} \Delta e|_M \cdot h^2 \quad (1)$$

— главный вектор:

$$Vec_i \approx \frac{\partial}{\partial x_j} \left( \sigma_{ij} + \frac{1}{6} \Delta \sigma_{ij} \cdot h^2 \right) \cdot 8h^3 \quad (2)$$

— главный момент:

$$Mom_i \approx \frac{\partial}{\partial x_j} \left( m_{ij} + \frac{1}{6} \Delta m_{ij} \cdot h^2 \right) \cdot 8h^3 + \varepsilon_{ijk} \left( \sigma_{jkl}|_M + \frac{1}{2} \Delta \sigma_{jkl}|_M \cdot h^2 \right) \cdot 4h^3 \quad (3)$$

Полученные уточненные характеристики (1)–(3) используются для подстановки в основные соотношения механики сплошных сред.

Учет характерного времени релаксации микроструктуры приводит к уточненным соотношениям для полных производных для скоростей:

$$\dot{v}_i = \frac{dv_i}{dt} + \tau \cdot \frac{d^2 v_i}{dt^2} \quad (4)$$

$$\dot{\omega}_i = \frac{d\omega_i}{dt} + \tau \cdot \frac{d^2 \omega_i}{dt^2} \quad (5)$$

$$\dot{\rho} = \frac{d\rho}{dt} + \tau \cdot \frac{d^2 \rho}{dt^2} \quad (6)$$

Уточненный тензор скоростей деформации равен:

$$e_{ij}^* = e_{ij} + \frac{\tau}{2} \nabla_i v^p \nabla_j v_p \quad (7)$$

В результате подстановки уточненных характеристик получим основные соотношения механики сплошных сред:

— модифицированное уравнение сохранения массы:

$$\frac{d\rho}{dt} + \tau \frac{d^2 \rho}{dt^2} = -\rho \left( e^* + \frac{1}{6} \rho \cdot h^2 \cdot \Delta e^* \right) \quad (8)$$

— модифицированные уравнения сохранения импульса:

$$\rho \cdot \left( \frac{dv_i}{dt} + \tau \frac{d^2 v_i}{dt^2} \right) = \frac{\partial \sigma_{ij}}{\partial x_j} + \frac{1}{6} \cdot h^2 \cdot \frac{\partial}{\partial x_j} \Delta \sigma_{ij} + F_i \quad (9)$$

— модифицированные уравнения момента сохранения импульса:

$$J_{ij} \cdot \left( \frac{d\omega_j}{dt} + \tau \frac{d^2 \omega_j}{dt^2} \right) = \frac{1}{2} \varepsilon_{ikl} \sigma_{kl} + \frac{\partial m_{ij}}{\partial x_j} + \frac{h^2}{4} \Delta (\varepsilon_{ikl} \sigma_{kl}) + \frac{h^2}{6} \frac{\partial}{\partial x_j} \Delta m_{ij} + M_i \quad (10)$$

Таким образом, получена система 7 уравнений в частных производных, содержащая 25 неизвестных ( $\rho$  — плотность,  $v$  — вектор скорости,  $\sigma_{ij}$  — тензор напряжений,  $m_{ij}$  — тензор моментных напряжений,  $\omega_j = \dot{\varphi}_j$  — абсолютная угловая скорость представительного объема), является незамкнутой, однако она позволяет выявлять малых  $h$  и  $\tau$  на уточнение законов сохранения (8)–(10) в тонких переходных слоях. Проведем исследование полученной системы в тонком переходном слое.

## УРАВНЕНИЯ В ПЕРЕХОДНОМ СЛОЕ С УЧЕТОМ ЛИНЕЙНОГО РАЗМЕРА МИКРОСТРУКТУРЫ И ВРЕМЕНИ РЕЛАКСАЦИИ

Рассмотрим движение сплошной среды вблизи гладкой поверхности  $S$ , характеризуемой нормалью  $n$  и поверхностными криволинейными координатами  $(y_1, y_2)$ .

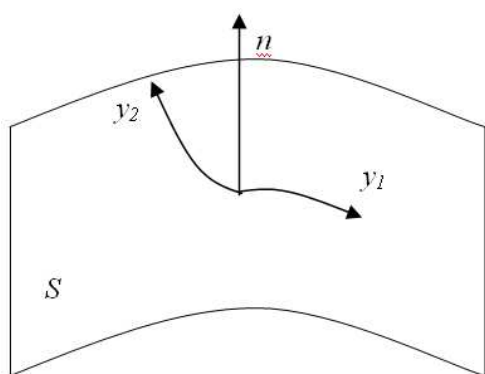


Рис. 2. Элемент выпуклой поверхности с криволинейными координатами

Первоначальная система уравнений (8)–(10) была приведена к безразмерному виду, что привело к появлению безразмерных комплексов:  $Eu = \frac{P_0}{\tilde{V}_0^2 \cdot \rho_0}$ ,  $St = \frac{\tau}{T_0}$ ,  $Kn = \frac{h}{L}$ , где  $P_0$ ,  $\tilde{V}_0^2$ ,  $\rho_0$ ,  $T_0$ ,  $L$  — характерные значения исследуемых физических величин. Для учета влияния малого параметра микроструктуры  $h$  задачи произведем растяжение нормальной координаты  $n$ , приняв  $\eta = n/Kn$ . Учитывая эту замену представим систему (8)–(10) в локальной системе координат  $(\eta, y_1, y_2)$ , совершив предельный переход  $h \rightarrow 0$ .

В результате получена система уравнений, содержащая малые параметры  $Kn$  и  $St$  в нулевой и первой степенях:

$$\begin{aligned} &Kn \cdot \left( V_n \frac{\partial \bar{p}}{\partial \eta} + \bar{\rho} \cdot \frac{\partial V_n}{\partial \eta} + \frac{1}{6} \bar{\rho} \cdot \frac{\partial^3 V_n}{\partial \eta^3} \right) + St \cdot \left( V_n \frac{\partial V_n}{\partial \eta} \frac{\partial \bar{p}}{\partial \eta} + V_n V_n \frac{\partial^2 \bar{p}}{\partial \eta^2} \right) = 0, \\ &Kn \cdot V_n \frac{\partial V_i}{\partial \eta} - Eu \cdot Kn \cdot \left( \frac{1}{\bar{\rho}} \cdot \frac{\partial \Theta_{in}}{\partial \eta} + \frac{1}{6\bar{\rho}} \cdot \frac{\partial^3 \Theta_{in}}{\partial \eta^3} \right) + St \cdot \left( V_n \frac{\partial V_n}{\partial \eta} \frac{\partial V_i}{\partial \eta} + V_n V_n \frac{\partial^2 V_i}{\partial \eta^2} \right) = 0, \\ &Eu \cdot \left( \frac{\partial M_{in}}{\partial \eta} + \frac{1}{6} \frac{\partial^3 M_{in}}{\partial \eta^3} \right) + Kn \cdot Eu \cdot \left( \frac{1}{2} \varepsilon_{iks} \Theta_{ks} + \frac{\partial M_{i1}}{\partial y_1} + \frac{\partial M_{i2}}{\partial y_2} + \frac{1}{4} \frac{\partial}{\partial \eta^2} (\varepsilon_{iks} \Theta_{ks}) \right) + \\ &+ Kn \cdot Eu \cdot \left( \frac{1}{6} \frac{\partial}{\partial \eta^2} \left( \frac{\partial M_{i1}}{\partial y_1} + \frac{\partial M_{i2}}{\partial y_2} \right) \right) = 0 \end{aligned} \quad (11)$$

Полученное в результате внутреннего разложения уравнение сохранения момента импульса позволяет построить нулевое и первое приближения.

Нулевое приближение полученной системы содержит только моментные напряжения на нормальных площадках:

$$Eu \cdot \left( \frac{\partial M_{in}}{\partial \eta} + \frac{1}{6} \frac{\partial^3 M_{in}}{\partial \eta^3} \right) = 0 \quad (12)$$

Полученное уравнение для градиентов нормальных моментных напряжений относится к так называемым волновым уравнениям и получило название уравнение Гельмгольца. К данному уравнению приводит весьма широкий класс процессов, связанных с установившимися колебаниями и: акустика, теория электромагнитного поля, теория дифракции и т. д.

Решение полученного уравнения имеет следующий вид:

$$M_{in} = \sqrt{6} B_{iM} \cos \left( \sqrt{6} \eta + C_{Mi} \right) + D_{iM} \quad (13)$$

Представим полученную величину графически (рис. 3).

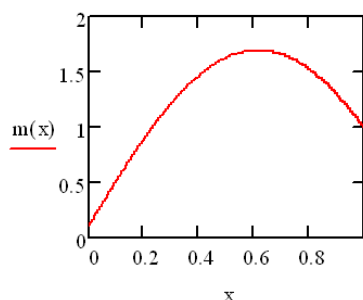


Рис. 3. Поведение моментных напряжений на нормальных площадках при граничных значениях  $M_{i0} = 0.1$  и  $M_{i1} = 1$

В результате получены константы интегрирования для задачи Коши и краевой задачи с граничными условиями на границах переходного слоя первого рода. Моментные напряжения на нормальных площадках имеют гармоническую природу и их характеристики зависят от граничных условий.

### ИССЛЕДОВАНИЕ ПОВЕДЕНИЯ СКОРОСТИ И ПЛОТНОСТИ МАТЕРИАЛА С МИКРОСТРУКТУРОЙ ВНУТРИ ТОНКОГО СЛОЯ В ЗАВИСИМОСТИ ОТ ЗНАЧЕНИЯ БЕЗРАЗМЕРНЫХ КОМПЛЕКСОВ $Eu$ , $Kn$ И $St$

При рассмотрении системы уравнений (11) возможно 8 случаев в зависимости от физических предположений, ведущих к учету слагаемых, содержащих безразмерные комплексы. Представим данные случаи в таблице 1:

Таблица 1.

№	Физические предположения	Учет безразмерных комплексов		
		$Eu \cdot Kn$	$Kn$	$St$
1	$Kn \rightarrow 0, St \rightarrow 0$ (0-приближение)	-	-	-
2	$Eu \cdot Kn \gg \max(Kn, St)$ ( $Eu \gg 1$ )	+	-	-
3	$Kn \gg \max(Eu \cdot Kn, St)$ ( $Eu \ll 1$ )	-	+	-
4	$St \gg \max(Eu \cdot Kn, Kn)$	-	-	+
5	$Eu \ll 1$ и $St \sim Kn$	-	+	+
6	$Eu \sim 1$ и $St < Kn$	+	+	-
7	$Eu \cdot Kn \sim St$ и $St > Kn$ ( $Eu \gg 1$ )	+	-	+
8	$Eu \sim 1$ и $St \sim Kn$	+	+	+

1) Первый случай из таблицы 1 был рассмотрен в предыдущем параграфе как нулевое приближение.

2) Во втором случае таблицы 1, когда  $Eu \cdot Kn \gg \max(Kn, St)$  ( $Eu \gg 1$ ), т. е. когда в системе силы давления намного больше инерциальных сил можно найти и проанализировать поведений напряжений.

$$\frac{1}{\rho} \cdot \frac{\partial \Theta_{in}}{\partial \eta} + \frac{1}{6\rho} \cdot \frac{\partial^3 \Theta_{in}}{\partial \eta^3} = 0$$

$$\frac{1}{2} \varepsilon_{iks} \Theta_{ks} + \frac{\partial M_{i1}}{\partial y_1} + \frac{\partial M_{i2}}{\partial y_2} + \frac{1}{4} \frac{\partial}{\partial \eta^2} (\varepsilon_{iks} \Theta_{ks}) + \frac{1}{6} \frac{\partial}{\partial \eta^2} \left( \frac{\partial M_{i1}}{\partial y_1} + \frac{\partial M_{i2}}{\partial y_2} \right) = 0 \quad (14)$$

Для нормальных напряжений существует решение:

$$\Theta_{in} = B_{\Theta i} \sin(\sqrt{6}\eta + C_{\Theta i}) + \frac{A_{\Theta i}}{6} \quad (15)$$

Таким образом, поведение компонент напряжений имеет гармоническую природу и их характеристики зависят от граничных условий. Из второго уравнения системы (15) можно получить значения моментных напряжений на площадках отличных от нормальной.

3) В третьем случае из таблицы 1, когда  $Kn \gg \max(Eu \cdot Kn, St)$ , что возможно лишь при малых числах Эйлера, система (11) примет вид:

$$\begin{aligned} V_n \frac{\partial \bar{\rho}}{\partial \eta} + \bar{\rho} \cdot \frac{\partial V_n}{\partial \eta} + \frac{1}{6} \bar{\rho} \cdot \frac{\partial^3 V_n}{\partial \eta^3} &= 0, \\ V_n \frac{\partial V_i}{\partial \eta} &= 0. \end{aligned} \quad (16)$$

При таких предположениях в переходном слое все физические величины остаются постоянными в случае, когда инерциальные силы намного больше сил давления, а скорость установления микроструктуры намного больше скорости системы. То есть в таких средах большие градиенты скоростей и плотностей невозможны.

4) В четвертом случае из таблицы 1, когда  $St \gg \max(Eu \cdot Kn, Kn)$ , система уравнений (11) в частных производных примет вид:

$$\begin{aligned} V_n \frac{\partial V_n}{\partial \eta} \frac{\partial \bar{\rho}}{\partial \eta} + V_n V_n \frac{\partial^2 \bar{\rho}}{\partial \eta^2} &= 0, \\ V_n \frac{\partial V_n}{\partial \eta} \frac{\partial V_i}{\partial \eta} + V_n V_n \frac{\partial^2 V_i}{\partial \eta^2} &= 0. \end{aligned} \quad (17)$$

Решение для нормальной компоненты скорости выглядит следующим образом:

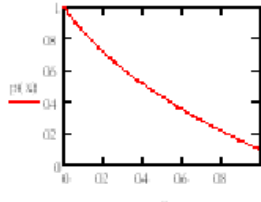
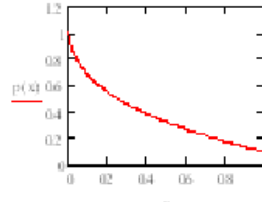
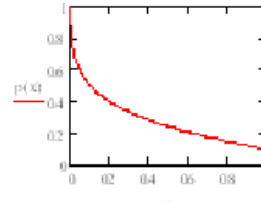
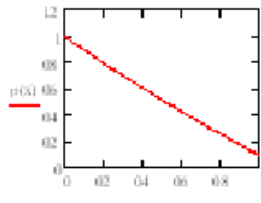
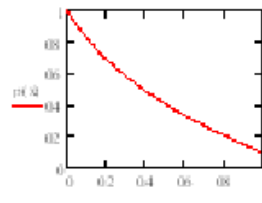
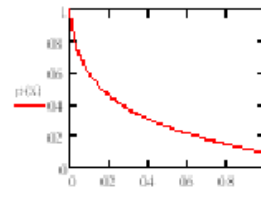
$$V_n = \sqrt{C_{V_n0}\eta + C_{V_n1}}. \quad (18)$$

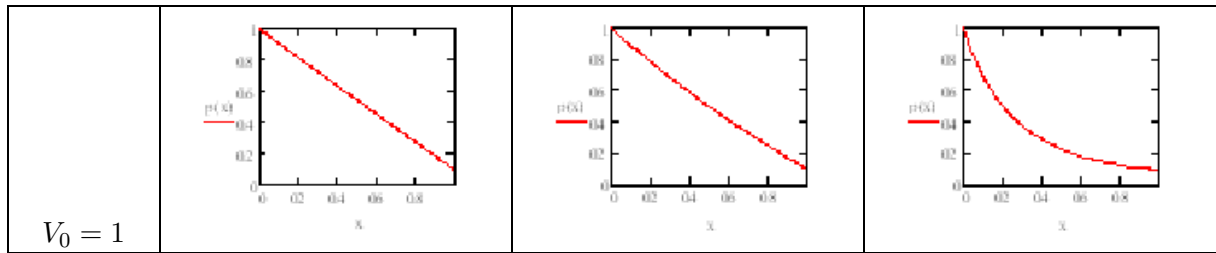
Решение для плотности выглядит следующим образом:

$$\bar{\rho} = C_{\rho1} \cdot (C_{V_n0}\eta + C_{V_n1})^{\frac{1}{2}} + C_{\rho0} \cdot \ln(C_{V_n0}\eta + C_{V_n1}). \quad (19)$$

Проведем исследование зависимости плотности от начального распределения нормальной компоненты скорости и ее производной. Для этого построим таблицу 2.

Таблица 2. Вид скачка плотности при граничных условиях для плотности  $\bar{\rho}_0 = 1$ ,  $\bar{\rho}_1 = 0.1$  и различных значений начальной скорости и ускорения

	$\dot{V}_0 = 0.1$	$\dot{V}_0 = 1$	$\dot{V}_0 = 10$
$V_0 = 0.01$			
$V_0 = 0.1$			



Следовательно, в случае когда, когда инерциальные силы намного меньше сил давления при скорости установления микроструктуры намного меньшей скорости системы, компоненты скорости изменяются по степенному закону, а плотность сплошной среды зависит от начального распределения отношения градиента скорости к значению самой скорости. Чем больше отношение первоначального безразмерного ускорения к скорости, тем быстрее происходит изменение плотности.

5) В пятом случае из таблицы 1, когда  $Eu \ll 1$  и  $St \sim Kn$ , система уравнений в частных производных примет вид:

$$\begin{aligned} Kn \cdot \left( V_n \frac{\partial \bar{\rho}}{\partial \eta} + \bar{\rho} \cdot \frac{\partial V_n}{\partial \eta} + \frac{1}{6} \bar{\rho} \cdot \frac{\partial^3 V_n}{\partial \eta^3} \right) + St \cdot \left( V_n \frac{\partial V_n}{\partial \eta} \frac{\partial \bar{\rho}}{\partial \eta} + V_n V_n \frac{\partial^2 \bar{\rho}}{\partial \eta^2} \right) &= 0, \\ Kn \cdot V_n \frac{\partial V_i}{\partial \eta} + St \cdot \left( V_n \frac{\partial V_n}{\partial \eta} \frac{\partial V_i}{\partial \eta} + V_n V_n \frac{\partial^2 V_i}{\partial \eta^2} \right) &= 0. \end{aligned} \quad (20)$$

Решение для нормальной компоненты скорости выглядит следующим образом:

$$V_n = e^{\frac{C_{V_n0}}{St} \eta} - \frac{Kn}{St} \eta + C_{V_n1} \quad (21)$$

Плотность определяется решением следующего дифференциального уравнения:

$$\begin{aligned} \frac{\partial^2 \bar{\rho}}{\partial \eta^2} \left( e^{\frac{C_{V_n0}}{St} \eta} - \frac{Kn}{St} \eta + C_{V_n1} \right)^2 + \\ \frac{\partial \bar{\rho}}{\partial \eta} \left( Kn \cdot \left( e^{\frac{C_{V_n0}}{St} \eta} - \frac{Kn}{St} \eta + C_{V_n1} \right) + St \cdot \left( e^{\frac{C_{V_n0}}{St} \eta} - \frac{Kn}{St} \eta + C_{V_n1} \right) \left( \frac{C_{V_n0}}{St} e^{\frac{C_{V_n0}}{St} \eta} - \frac{Kn}{St} \right) \right) + \\ + \bar{\rho} \cdot Kn \cdot \left( Kn \cdot \left( \frac{C_{V_n0}}{St} e^{\frac{C_{V_n0}}{St} \eta} - \frac{Kn}{St} \right) + \frac{1}{6} Kn \cdot \left( \frac{C_{V_n0}}{St} \right)^3 e^{\frac{C_{V_n0}}{St} \eta} \right) &= 0 \end{aligned} \quad (22)$$

Уравнение (22) для изменения плотности вдоль нормали позволяет провести предельный анализ для больших  $C_{V_n0} = Kn + St \cdot \dot{V}_n(0)$ , что возможно в случае положительных начальных ускорений на границе. В таких предположениях уравнение (22) принимает вид:

$$\frac{\partial^2 \bar{\rho}}{\partial \eta^2} + C_{V_n0} \frac{\partial \bar{\rho}}{\partial \eta} = 0 \quad (23)$$

и плотность в слое будет меняться по закону:

$$\bar{\rho} = \bar{\rho}_0 e^{-C_{V_n0} \eta} + C_{\rho 0}. \quad (24)$$

Из (24) следует, что повышение градиента скорости ведет к уменьшению плотности, а уменьшению градиента скорости приводит к увеличению плотности, что согласуется с основными законами механики.

В оставшихся трех случаях (6,7,8) из таблицы (1), которые характеризуются одним порядком величин кинетической и потенциальной энергий уравнения (11) для скоростей, напряжений, моментных напряжений и плотности не разделяются. Для их анализа необходимо задание реологических соотношений. Это позволяет сделать вывод о том, что в случае одного порядка сил давления и инерциальных сил в элементарном объеме возникающие за счет деформации и скоростей деформации напряжения и моментные напряжения являются значимыми.

## СПИСОК ЛИТЕРАТУРЫ

[1] Четверушкин Б. Н. Пределы детализации и формулировка моделей уравнений сплошных сред / Б. Н. Четверушкин // Математическое моделирование. — 2012. — Т. 24. — № 11. — С. 33–52.

[2] Елизарова Т. Г. Квазигазодинамические уравнения и методы расчета вязких течений. Лекции по математическим моделям и численным методам в динамике газа и жидкости / Т. Г. Елизарова — М.: Научный мир, 2007. — 350 с.

[3] Вerveйко Н. Д. Математическое моделирование поведения сплошной среды с учетом микроструктуры и времени релаксации / Н. Д. Вerveйко, В. И. Просветов // Механика и процессы управления. Том 1. — Материалы XXXXII Всероссийского симпозиума. — М.: РАН, 2012. — С. 111–122.

*Вerveйко Н. Д., доктор технических наук,  
профессор кафедры теоретической и прикладной механики Воронежского государственного университета  
Тел.: (4732)20-87-63*

*Verveйко N. D., professor, chair of engineering and applied mechanics of Voronezh State University  
Tel.: (4732)20-87-63*

*Просветов В. И., преподаватель кафедры математического и прикладного анализа Воронежского государственного университета  
E-mail: viprosvetov@rambler.ru*

*Prosvetov V. I., teacher of mathematical and applied analysis department of Voronezh State University  
E-mail: viprosvetov@rambler.ru*